

RUPTURA ELÉTRICA EM UM PLASMA TOROIDAL EM HIDROGÊNIO

M. Roberto - C.A.B.Silva* - L.C.S.Góes** - J.P.Sudano**
 UNESP - Campus de Guaratinguetá - DFQ - C.P. 205
 Instituto de Estudos Avançados/CTA*
 Instituto Tecnológico de Aeronáutica/CTA**

Resumo

Investigou-se por meio de um modelo zero-dimensional a fase inicial de ionização de um plasma toroidal produzido em hidrogênio. O modelo consiste em descrever a evolução temporal do plasma através da média espacial da densidade e temperatura das partículas, tomada sobre o volume do plasma. As equações envolvidas são, portanto, equações de balanço de energia e de partículas (elétrons e íons). A perda de elétrons é devida à difusão ambipolar na presença de campo magnético. Quanto à perda de energia dos elétrons inclui-se: ionização, processos de interação coulombiana e difusão. O transformador de aquecimento ôhmico fornece a voltagem inicial necessária à ruptura.

Na próxima seção serão apresentadas as equações básicas do modelo zero dimensional. Na seção 3 discutem-se os termos de produção e perda nas equações do item anterior. Finalmente, na seção 4, apresentam-se os resultados numéricos e as conclusões.

2 Equações Básicas

A descrição macroscópica do plasma é feita através das equações de transporte para a conservação do número de partículas, conservação de momento e conservação de energia. Mo modelo zero-dimensional considera-se uma forma simplificada das equações de transporte. Neste modelo, a equação de conservação de momento não é utilizada diretamente, sendo o plasma descrito por meio da média espacial, sobre o volume do plasma, da densidade e da energia das partículas. Portanto, no que concerne ao modelo interessam a equação de conservação de partículas e a equação de conservação de energia, isto é [2]:

1 Introdução

O tokamak é um sistema fechado de confinamento magnético com geometria toroidal, possuindo um campo magnético toroidal induzido pela corrente poloidal, suplementado por um campo poloidal gerado pela corrente toroidal do próprio plasma. A corrente toroidal é criada pela variação do fluxo magnético induzido por um transformador elétrico. O acoplamento desses dois campos resulta num campo magnético helicoidal que confina o plasma [1].

O objetivo deste trabalho é investigar, do ponto de vista do modelo zero-dimensional, a ruptura elétrica do hidrogênio, através da evolução temporal da densidade dos elétrons e átomos neutros do plasma, da energia dos elétrons e íons, e da corrente de plasma, na fase inicial da descarga num tokamak, supondo que já existe uma densidade inicial de elétrons no instante $t = 0$. As equações envolvidas são, portanto, equações de balanço de energia e de partículas (elétrons e íons) [2].

Para o estabelecimento das condições iniciais utilizou-se os dados do tokamak TBR-1 [3], que é um tokamak de grande razão de aspecto, possuindo um campo toroidal bem maior que o campo poloidal, permitindo efetuar algumas aproximações nas equações de balanço, conforme será mostrado a seguir.

$$\frac{\delta n_\alpha}{\delta t} + \vec{\nabla} \cdot (n_\alpha \vec{u}_\alpha) = G_\alpha - P_\alpha \quad (1)$$

e

$$\frac{3}{2} \frac{\delta}{\delta t} (n_\alpha K T_\alpha) + \vec{\nabla} \cdot \left(\frac{3}{2} n_\alpha K T_\alpha \vec{u}_\alpha \right) + n_\alpha K T_\alpha (\vec{\nabla} \cdot \vec{u}_\alpha) + \vec{\nabla} \cdot \vec{q}_\alpha = G_{E\alpha} - P_{E\alpha} \quad (2)$$

onde n_α ($\alpha = i, e$, para íons e elétrons, respectivamente) representa a densidade das partículas α , \vec{u}_α a velocidade macroscópica, T_α a temperatura, \vec{q}_α o vetor fluxo de calor; G_α e $G_{E\alpha}$ são a taxa de ganho de partículas e a taxa de ganho de energia por unidade de volume, P_α e $P_{E\alpha}$ são as respectivas taxas de perda por unidade de volume e K é a constante de Boltzmann. O 3o. termo do lado esquerdo da eq.(2) pode ser desprezado se considerarmos o plasma como fluido incompressível.

Tomando a média espacial sobre o volume do plasma V_p , das eqs. (1) e (2), pode-se definir um tempo de confinamento das partículas e um tempo de confinamento da energia das partículas [2], dados, respectivamente, por

$$\tau_\alpha = \frac{\bar{n}_\alpha V_p}{\int_S n_\alpha \bar{u}_\alpha \cdot d\vec{S}} \quad (3)$$

e

$$\tau_{E\alpha} = \frac{3/2 \bar{n}_\alpha K T_\alpha V_p}{\int_S \left(\frac{3}{2} n_\alpha K T_\alpha \bar{u}_\alpha + \bar{q}_\alpha \right) \cdot d\vec{S}} \quad (4)$$

onde a barra indica a média espacial e dS um elemento de área da superfície S que delimita o volume do plasma considerado. Daqui para frente a barra será omitida com o intuito de simplificar a notação.

Assim, pode-se escrever as equações de balanço para os elétrons e íons, com os respectivos termos de ganho e perdas, da seguinte forma:

- Densidade dos elétrons

$$\frac{dn_e}{dt} = n_e n_0 \langle \sigma v \rangle_{e0} - \frac{n_{e0}}{\tau_e} \quad (5)$$

- Densidade de energia dos elétrons

$$\begin{aligned} \frac{d}{dt} \left(\frac{3}{2} n_e K T_e \right) &= \\ &= P_{OH} - W_{ion} n_e n_0 \langle \sigma v \rangle_{e0} - Q_{ie} - \\ &\quad - \frac{3 n_e K T_e}{2 \tau_{Ee}} \end{aligned} \quad (6)$$

- Densidade de energia de íons

$$\begin{aligned} \frac{d}{dt} \left(\frac{3}{2} n_i K T_i \right) &= \\ &= Q_{ie} - \frac{3}{2} K T_i n_i n_0 \langle \sigma v \rangle_{ei} - \\ &\quad - \frac{3 n_i K T_i}{2 \tau_{Ei}} \end{aligned} \quad (7)$$

- Densidade das partículas neutras

$$\frac{dn_0}{dt} = -n_e n_0 \langle \sigma v \rangle_{e0} \quad (8)$$

Além da evolução temporal das partículas e da energia, há também o interesse na evolução da corrente de plasmas, designada por I . A equação que governa essa corrente é dada por [2]

$$L_P \frac{dI}{dt} + 2\pi R \eta \frac{I}{A} = V(t) \quad (9)$$

que liga o plasma com a tensão induzida $V(t)$.

Na próxima seção cada um desses termos será analisado em detalhe.

3 Termos de Perda e de Ganho no Balanço de Partículas e de Energia

- Termo de ganho de elétrons $n_e n_0 \langle \sigma v \rangle_{e0}$:

O fator $\langle \sigma v \rangle_{e0}$ é o parâmetro Maxwelliano para a reação $H_2 + e \rightarrow H_2^+ + 2e$; este parâmetro é dado pelo ajuste polinomial de dados experimentais [4]:

$$\begin{aligned} \langle \sigma v \rangle_{e0} &= \\ &= \exp \left[A_0 + \sum_{i=1}^n A_i (\ln K T_e)^i \right] \end{aligned} \quad (10)$$

- Termo de perda de elétrons por difusão n_e/τ_e :

O tempo característico de difusão é dado por,

$$\tau_e = \frac{\Lambda^2}{D} = \left(\frac{a}{2,4} \right)^2 \frac{1}{D} \quad (11)$$

onde a é o raio menor do toróide e Λ é o comprimento característico de difusão, o qual descreve os efeitos geométricos sobre o problema de perda de partículas que se difundem. Como o tokamak em questão possui grande razão de aspecto, uma aproximação cilíndrica pode ser utilizada, para a qual $\Lambda = a/2,4$ [5]. No processo de perdas por difusão de elétrons, foi usado o coeficiente de difusão ambipolar na presença de campo magnético ($D = D_{\perp a}$), dado que interações entre íons e elétrons não pode ser desprezada ($\Lambda \gg \lambda_D$) (λ_D é o comprimento de Debye). Esse coeficiente é dado por [6].

$$D_{\perp a} = D_a X_a, \quad (12)$$

onde D_a é o coeficiente de difusão ambipolar e X_a é o termo de correção devido à presença do campo magnético, dados por

$$D_a = \frac{(T_i + T_e)(D_i D_e)}{T_i D_e + T_e D_i}, \quad (T_e \text{ em eV}) \quad (13)$$

$$X_a = \frac{1}{1 + \mu_e \mu_i B^2} \quad (14)$$

onde $D_a = K T_\alpha / m_\alpha \nu_{\alpha 0}$, é o coeficiente de difusão livre e $\mu_\alpha = e / m_\alpha \nu_{\alpha 0}$ é a mobilidade. O termo $\nu_{\alpha 0} = n_0 \sigma_{\alpha 0} (K T_\alpha / m_\alpha)^{1/2}$ é a frequência de colisão entre elétrons (íons) e a molécula neutra, $\sigma_{\alpha 0}$ é a seção de choque e m_α é a massa de partículas $\alpha =$ elétron íon.

- Potência de aquecimento ôhmico P_{OH} : (2)

$$P_{OH} = \eta J^2 = \eta \frac{I^2}{A^2}$$

onde η = resistividade do plasma

I = corrente de plasma

A = seção reta do toróide

A resistividade é dada por [7,8]

$$\eta = \frac{m_e \nu_{e0}}{n_e e^2} + \frac{\pi e^2 \sqrt{m_e}}{(KT_e)^{3/2} (4\pi E_0)^2} \quad (15)$$

onde o 1º termo representa a resistividade para um plasma fracamente ionizado, o qual predomina no início da descarga e o 2º termo é a resistividade para um plasma totalmente ionizado.

- Corrente de Plasma I:

O parâmetro L_p que comparece na eq. (5) refere-se à indutância interna do plasma, escrita como [9]

$$L_p = \mu_0 R \left\{ \ln \frac{8R}{a} - \frac{7}{4} \right\} \quad (16)$$

onde R = raio maior

a = raio menor

- Termo de perda de energia por difusão de elétrons:

$$\frac{3 n_e K T_e}{2 \tau_{Ee}}$$

onde será suposto $\tau_{Ee} = \tau_e$, uma vez que durante o processo de difusão os elétrons também transportam energia.

- Termo de perda de energia dos elétrons devido à ionização

Este termo é dado por $n_e n_0 < \sigma v >_{e0} W_{ion}$, onde W_{ion} é a energia necessária para ionizar a molécula de H_2 .

- Termo de aquecimento dos íons Q_{ie} : [8]

Os íons são aquecidos pela transferência de energia dos elétrons. Assim

$$Q_{ie} = 3 \frac{m_e n_e K (T_e - T_i)}{m_i \tau_c}, \quad (17)$$

onde o tempo de colisão é dado por

$$\tau_c = \frac{3}{4} \sqrt{\frac{m_e}{2\pi}} \frac{(KT_e)^{3/2}}{n_i \lambda e^4}. \quad (18)$$

Aqui, λ é o logaritmo de Coulomb dado por

$$\lambda = 23 - \ln(n_e^{1/2} T_e^{-3/2}) \text{ se } T_e < 10eV$$

$$\lambda = 24 - \ln(n_e^{1/2} / T_e) \text{ se } T_e > 10eV$$

- Termo de perda de energia dos íons, por difusão

$\frac{3 n_i K T_i}{2 \tau_{Ei}}$, onde supõe-se $\tau_{Ei} = \tau_e$, pois a difusão considerada é ambipolar, onde elétrons e íons encontram-se acoplados. Como pode ser visto das expressões (11) e (13) o tempo característico de difusão de íons é igual a τ_e , mostrando, assim, que é justificável a suposição feita acima.

- Termo de perda de energia dos íons por troca de carga com o gás neutro

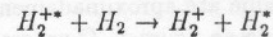
Este termo é dado por

$$\frac{3}{2} K T_i n_i n_0 < \sigma v >_{cx},$$

onde novamente

$$< \sigma v >_{cx} = \exp \left[A_0 + \sum_{i=1}^n A_i \ln(K T_i)^i \right]$$

[4], válida para a reação



O asterisco designa partícula com grande energia cinética.

Introduzindo a quase neutralidade $n_2 \cong n_i$, supondo $\tau_e = \tau_{Ee} = \tau_{Ei}$ e isolando as derivadas temporais de $K T_e$ e $K T_i$ nas equações (6) e (7), obtém-se um sistema de equações diferenciais não lineares para as variáveis independentes $n_e(t)$, $K T_e(t)$, $K T_i(t)$, $n_0(t)$ e $I(t)$, o qual foi resolvido pelo método de Runge-Kutta de 4a. ordem.

4 Resultados Numéricos Obtidos e Conclusão

Os valores dos parâmetros utilizados na simulação são os seguintes:

- Raio maior: $R = 30$ cm

- Raio menor: $a = 8$ cm

- Energia de ionização para a molécula de H_2 : $W_{ion} = 13$ eV

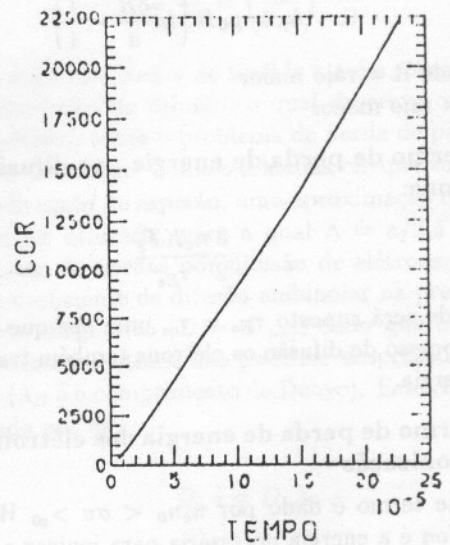
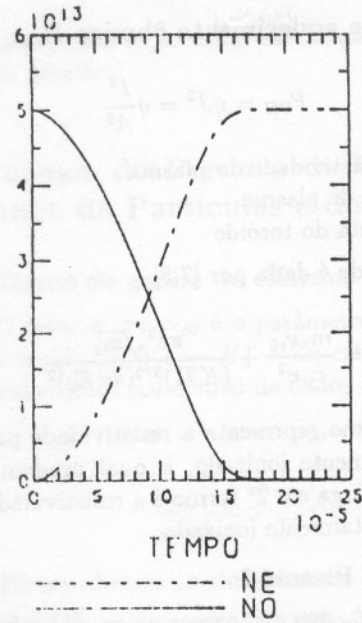
- Seções de choque elétron-átomo neutro e íon-átomo neutro:

$$\sigma_{e0} = \sigma_{i0} \sim 1 \times 10^{-15} \text{ cm}^2$$

Como condição inicial ($t = 0$) foi suposto $n_e = 5.0 \times 10^{10} \text{ cm}^{-3}$, $n_0 = 5.0 \times 10^{13} \text{ cm}^{-3}$, $KT_e = 0.5 \text{ eV}$, $KT_i = 0,1 \text{ eV}$, $I = 0$. A tensão de enlace que aparece na eq. (9), que é a tensão que provoca a ruptura do gás, foi suposta igual a 70 V [3,10,11]. O campo magnético B , que aparece na eq. (14) foi suposto igual a 0,4 Tesla [3]. Os parâmetros (R, a, V, B) correspondem ao tokamak TBR-I da USP.

A figura 1 mostra gráficos da evolução temporal da densidade dos elétrons, dos átomos neutros, da energia dos elétrons e íons e da corrente de plasma, para tempo até 0.25 ms. A figura 2 mostra a evolução temporal das mesmas grandezas para tempo até 25 μs . Observa-se nessa figura uma subida rápida para a energia dos elétrons, com um pico da ordem de 14 eV, em resposta à potência ôhmica aplicada. Esse pico provavelmente ocorre devido à energia fornecida pelo campo elétrico aos elétrons já presentes no toróide em $t = 0$, considerando-se a pequena massa dos elétrons e a sua baixa densidade inicial. A seguir a energia dos elétrons cai, dado que começa a haver a ionização do gás, como se pode ver da figura 1 na curva $n_e(t)$. Observa-se que quando $n_e(t) \approx \text{constante}$, a energia dos elétrons volta a subir, como era esperado, já que todo o gás foi ionizado. A corrente de plasma sobe até aproximadamente 23 KA, conforme é mostrado na figura 1. O programa termina quando todo o gás foi ionizado. Nenhuma alteração significativa foi observada variando-se o campo magnético. Evidentemente, se a tensão de enlace for maior que 70 V, a ionização se processa de forma mais rápida. A densidade inicial de elétrons não pode ser inferior a aproximadamente $5 \times 10^9 \text{ cm}^{-3}$, senão o termo de perdas excede o termo de produção de elétrons. Resultados experimentais do TBR-I mostram razoável concordância com os resultados obtidos [11].

Conclui-se que, com o modelo zero-dimensional, é possível investigar a ruptura do plasma e a evolução temporal da densidade dos elétrons e partículas neutras, a energia dos elétrons e íons e da corrente de plasma. É importante observar que os termos que aparecem nas equações de balanço são válidos apenas nessa fase inicial.



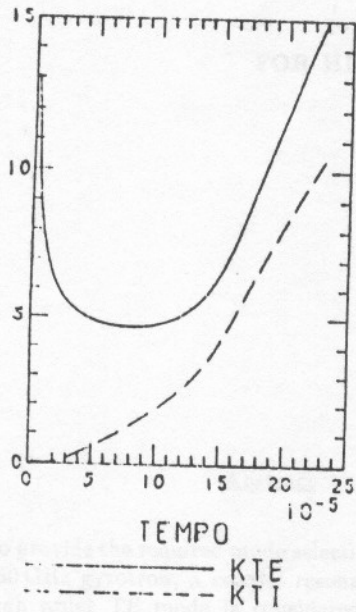


Figura 1.

Evolução temporal da densidade dos elétrons, átomos neutros, corrente e energia dos elétrons e íons, para $V = 70$ V e tempo até 0.25 ms.

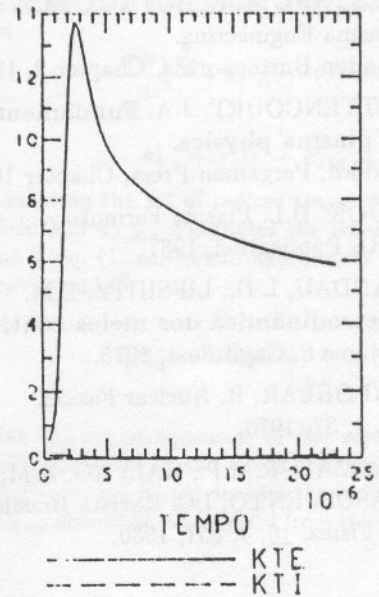
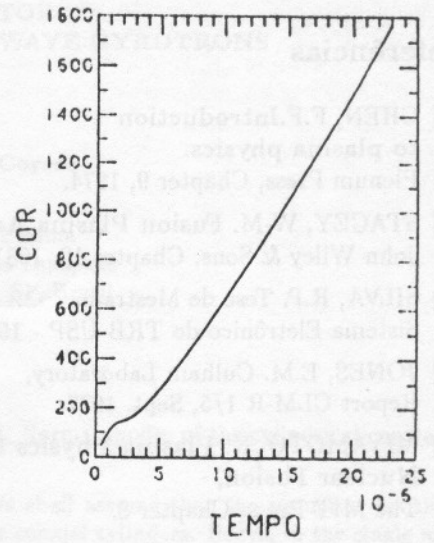
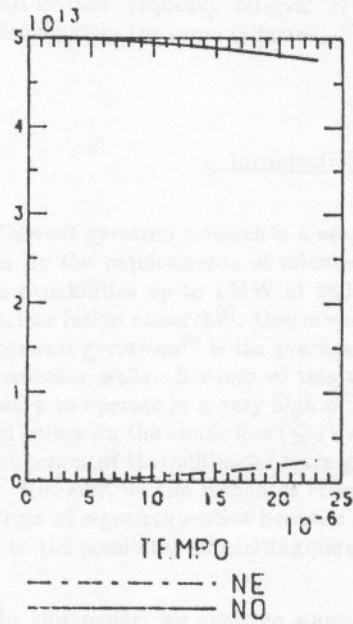


Figura 2. Idem a Fig. 1, só que para tempo até 25 μ s.

Referências

- [1] CHEN, F.F. **Introduction to plasma physics.** Plenum Press, Chapter 9, 1974.
- [2] STACEY, W-M. **Fusion Plasma Analysis.** John Wiley & Sons, Chapter 12, 1981.
- [3] SILVA, R.P. Tese de Mestrado. Sistema Eletrônico do TRB-USP - 1980.
- [4] JONES, E.M. Culham Laboratory, Report CLM-R 1/5, Sept. 1977.
- [5] MIYAMOTO, K. **Plasma Physics for Nuclear Fusion,** The MIT Press, Chapter 8.
- [6] KETTANI, M.A.; HOYAUX, M.F. **Plasma Engineering.** London Butterworths, Chapter 2, 1973.
- [7] BITTENCOURT, J.A. **Fundamentals of plasma physics.** Oxford, Pergamon Press, Chapter 10, 1986.
- [8] BOOK, D.L. **Plasma Formulary.** NRL Publication, 1987.
- [9] LANDAU, L.D.; LIFSHITZ, E.M. **Eletrodinâmica dos meios contínuos.** Volume 8, Capítulo 4, 1975.
- [10] PAPOULAR, R. **Nuclear Fusion.** 16, 1, 37, 1976.
- [11] DROZAK, R.M.P.; GALVÃO, R.M.O.; NASCIMENTO, I.C. *Revista Brasileira de Física.* 10, 4, 851, 1980.

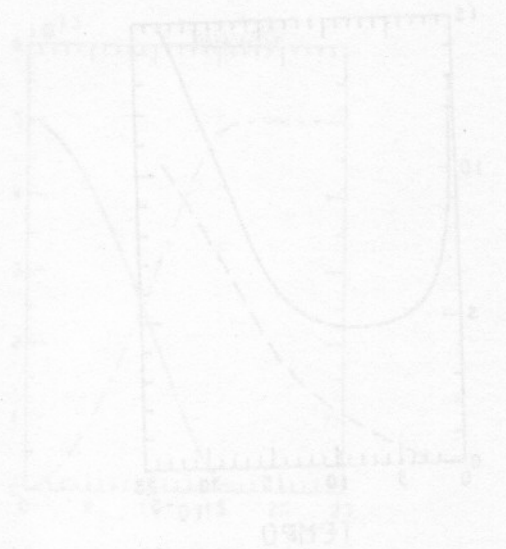


Figura 1
Evolução temporal da densidade dos íons...

